



# การผลิตแก๊สไฮโดรเจนโดยไม่ใช้ตัวเร่งปฏิกิริยาในเตาปฏิกิริณ์แบบเบดเดนิ่งจากหินน้ำมันด้วยกระบวนการแก๊สซิฟิเคชั่นด้วยไอน้ำ

## Non-Catalytic Hydrogen Production from Oil Shale by Steam Gasification in Fixed Bed Reactor

อัมรินทร์ เมฆฉาย\* และ ชัชวาลย์ ชัยชนะ

ภาควิชาวิศวกรรมเครื่องกล คณะวิศวกรรมศาสตร์ มหาวิทยาลัยเชียงใหม่ อ.เมือง จ.เชียงใหม่ 50200

**Amarin Makchai\* and Chatchawan Chaichana**

Department of Mechanical Engineering, Faculty of Engineering, Chiang Mai University,  
Chiang Mai 50200, Thailand  
E-mail: \*a.makchai@gmail.com

### บทคัดย่อ

งานวิจัยนี้ได้ศึกษาการผลิตแก๊สไฮโดรเจนจากหินน้ำมันขนาดเล็ก (Lab scale) โดยใช้เตาปฏิกิริณ์แบบเบดเดนิ่ง (Fixed Bed Reactor) ด้วยกระบวนการแก๊สซิฟิเคชั่น ซึ่งทำการศึกษาที่อุณหภูมิ  $600$   $700$  และ  $800^{\circ}\text{C}$  โดยการทดลองได้ใช้อัตราส่วนทำงานปฏิกิริยา กับหินน้ำมัน ในอัตราส่วนสมมูลเท่ากับ  $0.4$  พบร่วมแก๊สผลิตภัณฑ์ส่วนใหญ่เป็นแก๊สมีเทน มีสัดส่วนเป็นองค์ประกอบของแก๊สผลิตภัณฑ์  $10.44\%$  mol ที่  $800^{\circ}\text{C}$  หลังจากนั้นจึงนำแก๊สมีเทนที่ได้ไปใช้เป็นสารตั้งต้นในกระบวนการแก๊สซิฟิเคชั่นด้วยไอน้ำ (Steam Gasification) เพื่อผลิตแก๊สไฮโดรเจน โดยมีปัจจัยที่ใช้ในการผลิตคือ อัตราส่วนไอน้ำต่อหินน้ำมันที่  $0.2$   $0.4$  และ  $0.6$  โดยข้ามหัก พบร่วมที่  $800^{\circ}\text{C}$  เมื่ออัตราส่วนไอน้ำต่อเชื้อเพลิงเพิ่มขึ้นทำให้แนวโน้มของการเกิดแก๊สไฮโดรเจนมีสัดส่วนที่มากขึ้นและแก๊สมีเทนมีสัดส่วนที่ลดลง เนื่องจากไอน้ำได้ทำปฏิกิริยาเปล่งแก๊สด้วยไอน้ำ (Steam reforming) ทำให้สัดส่วนของแก๊สไฮโดรเจนเพิ่มขึ้นเมื่อเทียบกับการที่ไม่ใช้ไอน้ำเข้าทำปฏิกิริยา จาก  $5.63\%$  mol เป็น  $14.30\%$  mol เมื่อใช้อัตราส่วนไอน้ำต่อเชื้อเพลิงเท่ากับ  $0.6$  แต่ปฏิกิริยานี้ส่งผลให้ค่าความร้อนและประสิทธิภาพโดยรวมของแก๊สผลิตภัณฑ์ลดลง เนื่องจากแก๊สเขื้อเพลิงที่เป็นองค์ประกอบหลักและมีค่าความร้อนสูงสุดคือ แก๊สมีเทนมีแนวโน้มลดลง ไอน้ำจึงเป็นอีกปัจจัยหนึ่งที่ต้องพิจารณาเกี่ยวกับการนำแก๊สผลิตภัณฑ์จากหินน้ำมันไปใช้ประโยชน์ เพราะแต่ละกระบวนการต้องการแก๊สผลิตภัณฑ์ที่แตกต่างกันไป

### ABSTRACT

This article studied about the production of hydrogen from Oil Shale using fixed bed electric reactor to do the gasification experiment. The temperatures at  $600$   $700$  and  $800^{\circ}\text{C}$  was studied, in conventional gasification, to react with the oil shale in equivalence (of air) ratio  $0.4$  to produce the production gas. The production gas is mostly methane  $10.44\%$  mol. at  $800^{\circ}\text{C}$ . Due to gas products, mainly is methane which can be used as a reactant to produce hydrogen by using steam. So the reaction with steam that is steam gasification was studied. This experiment fed water into the reactor to produce steam and adjusted the flow rate of water to fuel ratio (S/F)  $0.2$ ,  $0.4$  and  $0.6$  by weight. At  $800^{\circ}\text{C}$  was found increasing of the ratio of steam to fuel ratio (S/F) a trend of a greater proportion of hydrogen and composition of methane decreased. The steam reforming was studied, the proportion of hydrogen from the non-steam reaction is  $5.63\%$  mol and the proportion of hydrogen with S/F ratio  $0.6$  is  $14.30\%$  mol.

## 1. บทนำ

ปัจจุบันปัญหาเกี่ยวกับพลังงานยิ่งทวีความรุนแรงมากขึ้นทุกวัน จนกลายเป็นปัจจัยหลักในการเพิ่มขึ้นของราคาสินค้า และบริการ ในท้องตลาด ทำให้สินค้ามีราคาสูงขึ้นแต่รายได้ของประชาชนกับเท่าเดิม ประเทศไทยต้องพึ่งพาเชื้อเพลิงฟอสซิลเป็นหลัก โดยเฉพาะน้ำมันดินซึ่งเป็นเชื้อเพลิงที่ต้องนำเข้ามาจากต่างประเทศที่มีแนวโน้มของราคาเพิ่มขึ้นทุกวัน และแก๊สธรรมชาติที่ถือว่าเป็นเชื้อเพลิงหลักของประเทศไทยในการผลิตพลังงานไฟฟ้ามากถึงร้อยละ 64 ของเชื้อเพลิงที่ใช้ในการผลิตพลังงานไฟฟ้าของทั้งประเทศ [1] ถึงแม้แก๊สธรรมชาติจะสามารถจัดหา และผลิตได้ภายในประเทศไทย แต่ก็มีบางส่วนที่ขึ้นต้องพึ่งพาจากประเทศไทยเพื่อนบ้านเป็นจำนวนมาก ไม่น้อย จึงทำให้ประเทศไทยจำเป็นต้องมีแหล่งพลังงานใหม่เพื่อใช้เป็นแหล่งพลังงานสำรอง หรือพัฒนาแหล่งพลังงานใหม่มาใช้ทดแทนแหล่งพลังงานเดิม

ประเทศไทยมีแหล่งเชื้อเพลิงฟอสซิลอยู่อีกหนึ่งแหล่งเป็นเชื้อเพลิงในรูปแบบของแร่น้ำมันกือ หินน้ำมัน (Oil shale) ซึ่งพบมากในพื้นที่ภาคเหนือ ได้แก่ พื้นที่อำเภอสังขะ จังหวัดลำพูน อุ่นภูแล จังหวัดลำปาง อุ่นภูแล แม่สอด จังหวัดตาก และพวนบางส่วนในพื้นที่ภาคใต้ ที่จังหวัดกระษี จากการศึกษาพบว่าแหล่งหินน้ำมันที่มีความสามารถที่จะนำมาใช้เป็นแหล่งเชื้อเพลิงได้คือ แหล่งแม่สอด จังหวัดตาก แหล่งหินน้ำมันอ่องแม่สอด ครอบคลุมพื้นที่ 552 ตารางกิโลเมตร มีปริมาณสำรองหินน้ำมัน 18,669 ล้านเมตริกตัน กิดเป็นปริมาณน้ำมัน 5,996 ล้านบาร์เรล จากการประเมินปริมาณน้ำมันหินจะสามารถใช้ได้ประมาณ 20 ปี [2] จึงเป็นที่น่าสนใจของการศึกษาการนำหินน้ำมันมาใช้ประโยชน์ในด้านเชื้อเพลิงพลังงาน ไม่ว่าจะเป็นในรูปแบบของน้ำมันหิน หรือแก๊สเชื้อเพลิง

กระบวนการที่ใช้ในการผลิตเชื้อเพลิงประเภทแก๊ส กระบวนการหนึ่งที่เป็นที่รู้จักกันดี คือกระบวนการแก๊สซิฟิเคชัน (Gasification) เป็นปฏิกิริยาเคมีทางความร้อนที่มีการเผาไหม้บ้างส่วน หรือเผาไหม้ไม่สมบูรณ์ของ

เชื้อเพลิงแข็ง ซึ่งในปัจจุบันมีการส่งเสริมเทคโนโลยีนี้กับเชื้อเพลิงประเภทชีวมวล

ในด้านประเทศไทยได้มีการใช้ประโยชน์จากหินน้ำมันโดยส่วนใหญ่จะมีน้ำมันไปในทางการสกัดหินน้ำมันดินจากหินน้ำมัน (Shale oil) กระบวนการสกัดหินน้ำมันด้วยความร้อนมักจะไกแก๊สเป็นผลพลอยได้ ซึ่งแก๊สที่ได้มีคุณสมบัติเป็นแก๊สเชื้อเพลิง จึงมีการศึกษาการผลิตแก๊สเชื้อเพลิง โดยใช้กระบวนการแก๊สซิฟิเคชัน ซึ่งทำให้ทราบถึงปัจจัยที่มีผลต่อการเกิดแก๊สของหินน้ำมัน พบว่าปัจจัยหลักคืออุณหภูมิที่ใช้ในกระบวนการ ที่อุณหภูมิสูงสามารถผลิตแก๊สได้มากกว่าที่อุณหภูมิต่ำ สามารถเห็นแนวโน้มได้ชัดเจนในช่วง 600-900°C ปริมาณอากาศที่เป็นอีกปัจจัยหนึ่งที่สำคัญ ซึ่งขึ้นอยู่กับองค์ประกอบทางเคมี และอัตราส่วนสมมูล (Equivalent ratio) มีค่าที่เหมาะสมอยู่ในช่วง 0.2-0.5 และขนาดของหินน้ำมันก็มีผลต่อเตาปฏิกรณ์ที่ใช้ผลิตแก๊สเชื้อเพลิง

อิกหันยังสามารถนำแก๊สที่ได้ไปทำปฏิกิริยาต่อ หรือสังเคราะห์ขึ้นในกระบวนการไปพร้อมกับกระบวนการเดิม โดยการเพิ่มสารตั้งต้นเข้าไปในกระบวนการ เนื่องจากภายในกระบวนการมีอุณหภูมิที่สูง จึงง่ายต่อการเกิดปฏิกิริยาต่างๆ ไม่ว่าจะเป็นการใช้ตัวเร่งปฏิกิริยาเพื่อให้ได้แก๊สผลิตภัณฑ์เพิ่มขึ้น หรือช่วยในการลดระยะเวลาในการทำปฏิกิริยาลง หรือเป็นการเพิ่มสารตั้งต้นเพื่อสังเคราะห์ให้ได้ผลิตภัณฑ์ที่มีมูลค่าสูงขึ้นอย่างแก๊สไฮโดรเจน สามารถสังเคราะห์ได้โดยการใช้อินฟาร์เรด ปฏิกิริยากับแก๊สเชื้อเพลิง เช่น แก๊สเมทาน และแก๊สคาร์บอนมอนออกไซด์ ซึ่งจะเห็นผลชัดเจนในช่วงการใช้อัตราส่วนไฮน้ำต่อเชื้อเพลิงในช่วง 0-0.6 [7-18]

ดังนั้นการวิจัยนี้จึงมุ่งเน้นในการใช้ประโยชน์จากหินน้ำมันในการผลิตแก๊สไฮโดรเจนด้วยกระบวนการแก๊สซิฟิเคชัน โดยทำการศึกษาตัวแปรที่มีผลต่อการผลิตแก๊สไฮโดรเจน ได้แก่ อุณหภูมิในการเกิดปฏิกิริยา ขนาดของหินน้ำมัน ปริมาณอากาศ ปริมาณไฮน้ำ และระยะเวลาที่ใช้ในการเกิดปฏิกิริยา

## 2. หินน้ำมัน (Oil Shale)

หินน้ำมัน คือหินที่มีกักษณะเป็นชั้นๆ (หินดินดาน) มีสีน้ำตาลไปจนถึงดำ เกิดจากการทับถมของสิ่งมีชีวิตมาเป็นเวลากว่า 10 ล้านปี การทับถมของพื้นที่น้ำ หินน้ำมันประกอบด้วยสารประกอบ 2 ชนิด คือ สารอนินทรีที่ได้แก่ กลุ่มแร่ซิลิกะต์ (Silicate) และกลุ่มแร่คาร์บอนเนต (Carbonate) ที่เกิดจากการพุพังของชั้นหิน และอีกชนิดหนึ่งคือ สารอินทรีที่ได้แก่ นิทูเมน (Bitumen) และคีโรเจน (Kerogen) หินน้ำมันที่มีค่าโภเจนอยู่มากจะจัดว่าเป็นหินน้ำมันคุณภาพดี

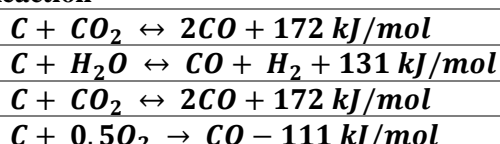
แหล่งหินน้ำมันในประเทศไทยที่ใหญ่ที่สุด คือหินน้ำมันแอ่งแม่สอด อำเภอแม่สอด จังหวัดตาก เป็นหินน้ำมันอยู่ในยุค Tertiary (2–80 ล้านปี) ครอบคลุมพื้นที่ประมาณ 552 ตร.กม. มีปริมาณสำรองหินน้ำมัน 18,669 ล้านเมตริกตัน หินน้ำมันจากแหล่งนี้มีผลผลิตน้ำมัน (Oil yield) แตกต่างกันมีตั้งแต่คุณภาพต่ำถึงสูง 1–26% หรือ 10–200 ลิตร/ตัน จากค่าเฉลี่ยอยู่ที่ 5% หรือประมาณ 50 ลิตร/ตัน มีค่าความร้อนตั้งแต่ 2,500 – 16,000 kJ/kg [3]

ตารางที่ 1\_คุณสมบัติของหินน้ำมันของแอ่งแม่สอด [3]

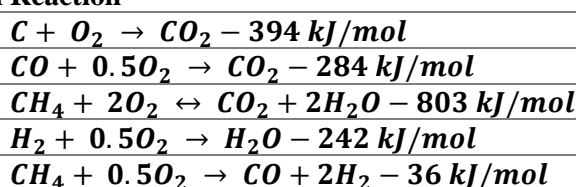
Properties	
Moisture (wt%)	0.9 – 7.6
Volatile (wt%)	24.6 – 96.5
Sulfur (wt%)	0.6 – 1.3
Ash (wt%)	56 – 70
Gravity	1.6 – 2.1
Heat capacity (cal/g)	700 – 4,000

ตารางที่ 2\_ปฏิกิริยาเคมีที่สำคัญที่เกิดขึ้นในกระบวนการแก๊สซิฟิเคชั่น

### Carbon Reaction



### Oxidation Reaction



## 3. ทฤษฎีที่เกี่ยวข้อง

### 3.1 กระบวนการแก๊สซิฟิเคชั่น (Gasification) [4]

กระบวนการแก๊สซิฟิเคชั่นเป็นกระบวนการแปลงสภาพทางความร้อนของเชื้อเพลิงแข็ง โดยการเผาให้มีไนโตรบอร์น์ หรือปฏิกิริยาออกซิเดชั่นบางส่วน (Partial oxidation) ด้วยอากาศ หรือไอน้ำ ที่อุณหภูมิสูง ประมาณ 800–1,000 °C ทำให้เชื้อเพลิงแข็งเกิดการแตกตัวเป็นแก๊สเรียกว่าแก๊สเชื้อเพลิง (Producer gas) มีองค์ประกอบของแก๊สคาร์บอนมอนอกไซด์ (CO) และไฮโดรเจน (H<sub>2</sub>) แก๊สเมทาน (CH<sub>4</sub>) และแก๊สคาร์บอนไดออกไซด์ (CO<sub>2</sub>) ซึ่งจะมีสัดส่วนมากหรือน้อยขึ้นอยู่กับสภาพแวดล้อม 3–10 MJ/m<sup>3</sup>

### 3.2 ปฏิกิริยาที่เกิดขึ้นในกระบวนการแก๊สซิฟิเคชั่น [5]

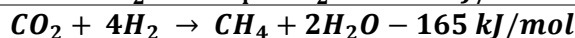
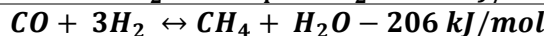
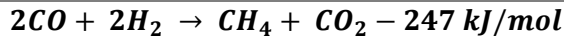
ปฏิกิริยาที่เกิดขึ้นในกระบวนการแก๊สซิฟิเคชั่นเป็นปฏิกิริยาเคมีความร้อน โดยมีปัจจัยสำคัญในการเกิดปฏิกิริยาคืออุณหภูมิ มีทั้งปฏิกิริยาดูดความร้อน (Endothermic reaction) และปฏิกิริยาดัดความร้อน (Exothermic reaction) ดังแสดงในตารางที่ 2

ตารางที่ 2 (ต่อ) ปฏิกิริยาเคมีทั่วไปที่เกิดขึ้นในกระบวนการแก๊สซิฟิเคชัน

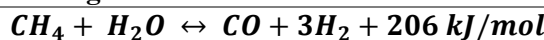
### Shift Reaction



### Methanation Reaction



### Steam-Reforming Reaction



### 3.3 พลังงานอิสระของกิบส์ (Gibbs' free energy)

พลังงานอิสระเป็นพลังงานที่มีอยู่ในสารเคมีที่สามารถนำไปใช้ทำให้เกิดงานได้ เมื่อมีการเปลี่ยนแปลงทางเคมีเกิดขึ้นหรือเกิดปฏิกิริยาเคมี ค่าพลังงานอิสระนี้จะใช้ในการทำงานที่พิสูจน์ของปฏิกิริยานั้นๆ

$$\Delta G = \Delta H - T\Delta S$$

โดยที่

$\Delta G$  = การเปลี่ยนแปลงพลังงานอิสระของกิบส์ (kJ)

$\Delta H$  = การเปลี่ยนแปลงเอนทอลปี (Enthalpy) (kJ)

$T$  = อุณหภูมิ (K)

$\Delta S$  = การเปลี่ยนแปลงเอนโทรปี (Entropy)  
(kJ/K)

จากพลังงานอิสระของกิบส์มีความสัมพันธ์กับค่าคงที่สมดุล (Equilibrium constant:  $K_e$ ) ของปฏิกิริยา ซึ่งจะเป็นการเปรียบเทียบค่าคงที่สมดุลระหว่างปฏิกิริยาไปข้างหน้า (Forward) กับปฏิกิริยาขึ้นกลับ (Backward) ซึ่งค่าสมดุลของปฏิกิริยาจะสมดุลที่ค่าเท่ากับ 1 ซึ่งค่า  $K_e > 1$  ถือว่าปฏิกิริยานั้นเกิดปฏิกิริยาไปข้างหน้าแต่ถ้าค่า  $K_e < 1$  ถือว่าปฏิกิริยานั้นเกิดปฏิกิริยาขึ้นกลับ

$$K_e = \exp\left(-\frac{\Delta G}{RT}\right)$$

โดยที่

$K_e$  = ค่าคงที่สมดุล

$\Delta G$  = การเปลี่ยนแปลงพลังงานอิสระของกิบส์ (kJ)

$R$  = ค่าคงที่ของแก๊ส 0.008314 kJ/mol.K

$T$  = อุณหภูมิของปฏิกิริยา (K)

### 3.4 อัตราส่วนอากาศต่อเชื้อเพลิง (A/F) [6]

เป็นอัตราส่วนที่บ่งบอกปริมาณของสารตั้งต้นในปฏิกิริยาการเผาไหม้ระหว่างอากาศกับเชื้อเพลิง เพื่อใช้เป็นค่าอ้างอิงในการทำปฏิกิริยาในการทดลองจริง อัตราส่วนอากาศต่อเชื้อเพลิงของการเผาไหม้ที่สมบูรณ์คือ  $(A/F)_{stoi}$

$$(A/F)_{stoi} = \frac{\text{ปริมาณอากาศที่ใช้ตามทฤษฎี}}{\text{ปริมาณเชื้อเพลิงที่ใช้ตามทฤษฎี}}$$

### 3.5 อัตราส่วนสมมูล (Equivalent ratio: ER) [7]

เป็นอัตราส่วนผสมของอากาศกับเชื้อเพลิงที่ใช้ในการเผาไหม้จริง เทียบกับอัตราส่วนของการเผาไหม้ที่สมบูรณ์

$$ER = \frac{(A/F)_{act}}{(A/F)_{stoi}}$$

### 3.6 อัตราส่วนไอน้ำต่อเชื้อเพลิง (S/F) [8]

ในกระบวนการแก๊สซิฟิเคชันด้วยไอน้ำจะใช้ไอน้ำร่วมทำปฏิกิริยากับสารตั้งต้น เพื่อให้เกิดปฏิกิริยาชิฟต์ (Water gas shift reaction) และปฏิกิริยาการแปลงแก๊ส ด้วยไอน้ำ (Steam reforming reaction) เพื่อผลิตแก๊สไฮโดรเจน ซึ่งไอน้ำที่ใช้จะถูกเทียบอัตราส่วนกับเชื้อเพลิงด้วยอัตราส่วนโดยน้ำหนัก

$$S/F = \frac{\dot{m}_{steam}}{\dot{m}_{fuel}}$$

โดยที่

$\dot{m}$  คือ อัตราการไหล โดยน้ำหนัก (g/s)

### 3.7 ค่าความร้อนของแก๊สเชื้อเพลิง (Heating value)

แก๊สผลิตภัณฑ์จะมีค่าความร้อนมากหรือน้อยขึ้นอยู่กับสัดส่วนของแก๊สเชื้อเพลิงที่เป็นองค์ประกอบของแก๊ส

ผลิตภัณฑ์ ค่าความร้อนสูง (HHV) จึงคำนวณจากผลรวมของค่าความร้อนของแก๊สเชื้อเพลิงแต่ละชนิดที่มีอยู่ในองค์ประกอบของแก๊สผลิตภัณฑ์ ค่าความร้อนสูงเป็นค่าที่เหมาะสมแก่การคำนวณประสิทธิภาพของกระบวนการแก๊สซิฟิเกชัน เพราะเป็นการคิดค่าพลังงานรวมของเชื้อเพลิงเมื่อเกิดการเผาไหม้ (ค่าความร้อนสูงได้คิดความร้อนของไอน้ำที่เป็นผลิตภัณฑ์ควบแน่นเป็นน้ำด้วย)

$$HHV = \sum_{i=H_2,CO,CH_4} X_i \cdot HHVi$$

โดยที่

$HHV$  = ค่าความร้อนสูงของแก๊สแก๊สผลิตภัณฑ์ ( $MJ/m^3$ )

$X_i$  = สัดส่วนองค์ประกอบแก๊สเชื้อเพลิง (% vol)

$HHVi$  = ค่าความร้อนสูงของแก๊สเชื้อเพลิงที่เป็นองค์ประกอบในแก๊สผลิตภัณฑ์ ( $MJ/m^3$ )

### 3.8 ประสิทธิภาพแก๊สร้อน (Hot gas efficiency)

คืออัตราส่วนระหว่างพลังงานที่ได้รับจากแก๊สผลิตภัณฑ์กับพลังงานของเชื้อเพลิงแข็งที่ใช้เป็นสารตั้งต้น

$$\eta_{hg} = \frac{Q_g M_g + M_g C_p (T_f - T_o)}{LHV_f M_f}$$

โดยที่

$\eta_{hg}$  = ประสิทธิภาพแก๊สร้อน

$Q_g$  = พลังงานจากแก๊สเชื้อเพลิง ( $kJ/kg$ )

$M_g$  = มวลแก๊สผลิตภัณฑ์ ( $kg$ )

$C_p$  = ค่าความร้อนจำเพาะของแก๊สผลิตภัณฑ์ ( $kJ/kg.K$ )

$T_f$  = อุณหภูมิของแก๊สผลิตภัณฑ์ ( $K$ )

$T_o$  = อุณหภูมิอ้างอิง ( $K$ )

$LHV_f$  = ค่าความร้อนของเชื้อเพลิงแข็ง ( $kJ/kg$ )

$M_f$  = มวลเชื้อเพลิงแข็ง ( $kg$ )

## 4. อุปกรณ์และวิธีการทดลอง

### 4.1 เชื้อเพลิงที่ใช้ในการทดลอง

หินน้ำมันที่ใช้ในการทดลองมาจากอ่องแม่สอดจังหวัดคาดที่ถูกบดและร่อนให้ได้ขนาด  $0.85\text{--}1.00\text{ mm}$  [11] และนำไปตรวจวิเคราะห์ Proximate analysis และ Ultimate analysis ดังรายละเอียดในตารางที่ 3

ตารางที่ 3 ผลการตรวจวิเคราะห์หินน้ำมัน

#### Proximate analysis (%wt, as received)

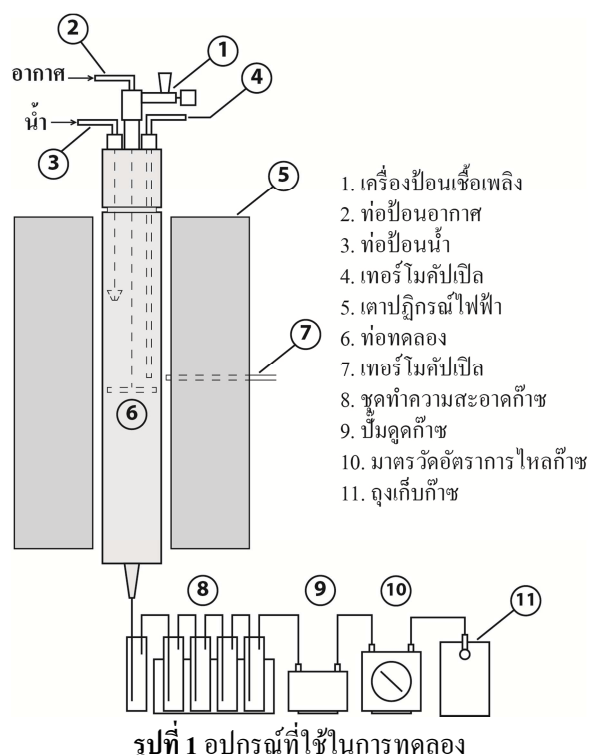
Moisture	Ash	Volatile Matter	Fixed Carbon
10.38	60.81	27.76	1.05

#### Ultimate analysis (%wt, dry basis)

C	H	O	N	S
20.48	2.89	7.76	0.62	0.39

### 4.2 อุปกรณ์และขั้นตอนการวิจัย

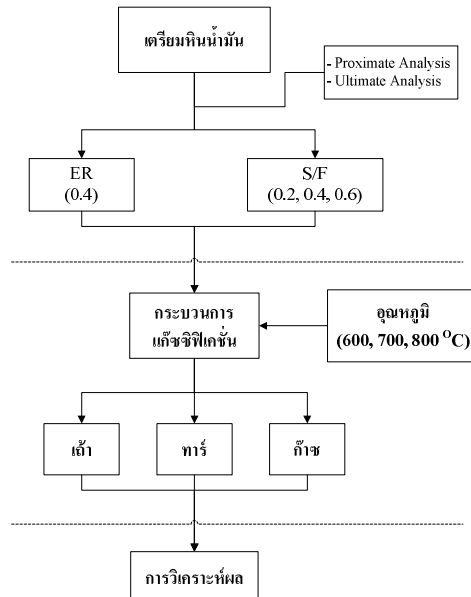
การวิจัยครั้งนี้ได้ใช้เตาปฏิกรณ์ไฟฟ้าแบบเบดนิ่ง [12] ในศึกษากระบวนการแก๊สซิฟิเกชันด้วยไอน้ำ โดยการปล่อยเชื้อเพลิง อากาศ และน้ำให้หลากรูปแบบลงถัง ดังรูปที่ 1



ภายในเตาปฏิกรณ์ประกอบด้วยท่อสแตนเลสทอนความร้อนสูงขนาดเส้นผ่านศูนย์กลาง 50 mm ยาว 620 mm ให้ความร้อนด้วยความไฟฟ้าขนาด 3.08 kW ทำการวัดอุณหภูมิ 2 ตำแหน่ง ภายในท่อทดลองบริเวณกึ่งกลางท่อใกล้กับตระแกรงรับเชื้อเพลิง และภายในเตาปฏิกรณ์บริเวณกึ่งกลาง

หินน้ำมันและอากาศจะถูกปล่อยลงในท่อทดลองในอัตราการไหลดคงที่ 0.33 g/min และ 150 cc/min ตามลำดับ สำหรับน้ำชาจะถูกปล่อยในอัตราการไหลดที่แตกต่างกันตามค่าอัตราส่วนไอน้ำต่อเชื้อเพลิง (S/F) ที่ 0.2 0.4 และ 0.6 โดยนำหัวนัก โดยใช้ Syringe pump ใน การปรับอัตราการไหลดของน้ำ

ก่อนเริ่มการทดลองจะต้องให้ความร้อนแก่เตาปฏิกรณ์จนได้อุณหภูมิตามที่ต้องการคือ 600 700 และ 800°C ตามลำดับ จากนั้นเริ่มปล่อยหินน้ำมัน อากาศ และน้ำလงในเตาปฏิกรณ์พร้อมกัน ปฏิกิริยาแก๊สซิฟิเกชันจะเกิดขึ้นอย่างรวดเร็วเมื่อสาระเหยที่เกิดขึ้นจะทำปฏิกิริยากับอากาศและไอน้ำภายในเตาปฏิกรณ์เกิดเป็นแก๊สผลิตภัณฑ์ จากนั้นจะถูกเก็บเข้าถุงเก็บแก๊สโดยใช้ปั๊มคุณแก๊สเชื้อเพลิงผ่านชุดทำความสะอาดที่ประกอบด้วย สำลีไอโซโพรพานอล (Isopropanol) และซิลิกาเจล [13] จากนั้นนำไปตรวจวิเคราะห์ทางค่าประกอบของแก๊สของแก๊สตัวบวช Gas Chromatography ด้วยเครื่อง Agilent 6820 ซึ่งมีขั้นตอนการทดลองแสดงดังรูปที่ 2

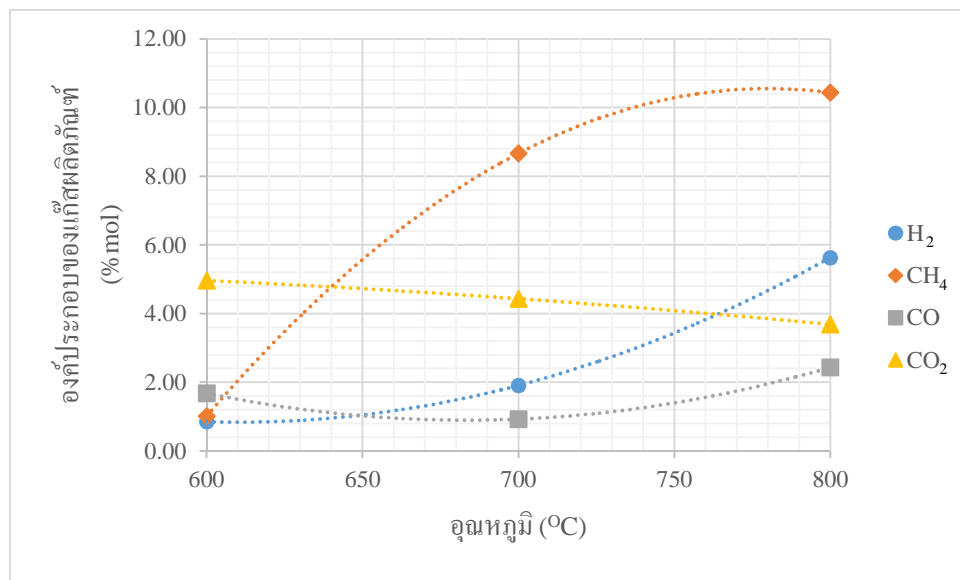


รูปที่ 2 ขั้นตอนการทดลอง

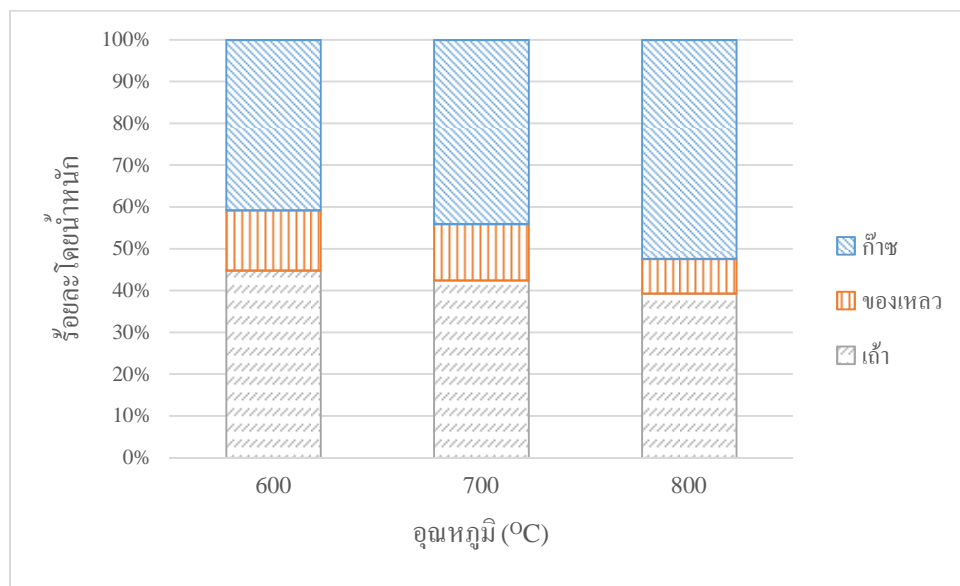
## 5. ผลการทดลองและการวิเคราะห์

### 5.1 ผลของอุณหภูมิในปฏิกิริยาแก๊สซิฟิเกชัน

อากาศและอุณหภูมิในการเกิดปฏิกิริยาแก๊สซิฟิเกชันถือว่าเป็นปัจจัยสำคัญในการกำหนดค่าค่าประกอบของแก๊สเชื้อเพลิงและประสิทธิภาพในการผลิตแก๊สเชื้อเพลิง ซึ่งจากการทดลองได้กำหนดการป้อนอากาศในอัตราส่วนสมมูล (ER) เท่ากับ 0.4 และทำการทดลองโดยเปลี่ยนอุณหภูมิในการเกิดปฏิกิริยา 3 ค่า ได้แก่ 600 700 และ 800°C ผลการทดลองแสดงดังรูปที่ 3



ຮູບທີ 3 ພລຂອງອຸນຫກນີ້ທີ່ມີຕ່ອງກໍປະກອບຂອງແກ້ສພລິດກັນທ່າງປັກປຸງກົງຢາແກ້ສົຈີຟີເຄື່ນ  
ທີ່ອັດຮາສ່ວນສມຸລຂອງອາກາສ ເທົ່າກັນ 0.4



ຮູບທີ 4 ພລິດກັນທ່າງປັກປຸງຢາແກ້ສົຈີຟີເຄື່ນ ທີ່ອັດຮາສ່ວນສມຸລຂອງອາກາສ ເທົ່າກັນ 0.4

ຈາກການທົດລອງພົບວ່າ ທີ່  $800^{\circ}\text{C}$  ອາກາສແລະ ທິນນໍາມັນ ທຳປັກປຸງຢາກັນ ໄດ້ແກ້ສພລິດກັນທ່າງປັກປຸງຢາ ທີ່ມີອົງກໍປະກອບຂອງແກ້ສ ເຊື້ອເພີ່ງ ໄດ້ມາກທີ່ສຸດ ໄດ້ແກ່ ແກ້ສມືເຫັນ  $10.44\text{ mol}$  ແກ້ສ ໄໂໂໂໂຣເຈນ  $5.63\text{ mol}$  ແລະ ແກ້ສຄາຮນອນມອນອອກໄຊເຈນ  $2.43\text{ mol}$  ສໍາຫັບແກ້ສທ່ານ໌ເໜືອສ່ວນໃໝ່ຈະເປັນແກ້ສ ໃນໂຕຣເຈນທີ່ເປັນສ່ວນພສມຂອງອາກາສປະມານ  $40\text{-}70\text{ mol}$

ແກ້ສອອກຊີເຈນທີ່ໄມ່ທຳປັກປຸງຢາອີກ  $3\text{-}5\text{ mol}$  ທີ່ເໜືອເປັນ ແກ້ສທ່ານ໌ເໜືອສ່ວນໃໝ່ຈະເປັນແກ້ສອົກລິນ ( $\text{C}_2\text{H}_4$ ) ແກ້ສອົງເຫັນ ( $\text{C}_2\text{H}_6$ ) ເປັນດັນ ເນື່ອຈາກທິນນໍາມັນມີສາຮອນທຽບທີ່ເຮັດວຽກວ່າ ຄີໂໂຣເຈນ (Kerogen) ຊຶ່ງເປັນສາຮປະກອບໄໂໂໂໂຣຄາຮນອນ ໂມເລກຸດ ໄທຸ່ງເປັນອົງກໍປະກອບຫລັກເມື່ອຄຸກໃຫ້ກວາມຮ້ອນຈະມີການ

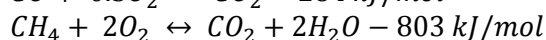
ปล่อยสารระเหยออกมาน้ำที่ประกอบด้วยแก๊สไฮโดรคาร์บอนหลาຍชนิด โดยมีแก๊สมีเทนเป็นองค์ประกอบหลัก [14] สำหรับแก๊สไฮโดรเจน แก๊สคาร์บอนมอนอกไซด์ และแก๊สคาร์บอนไดออกไซด์ จะเป็นแก๊สผลิตภัณฑ์ที่เกิดจากปฏิกิริยาแก๊สซิฟิเคชัน โดยมีอากาศและน้ำที่อยู่ในรูปของความชื้นเข้าทำปฏิกิริยา

ผลิตภัณฑ์ที่ได้จากปฏิกิริยาแก๊สซิฟิเคชันนั้นประกอบด้วยกัน 3 ส่วน 'ไดแก๊ส' ของเหลว และแก๊ส ซึ่งของเหลวที่ได้จากการบานการจะเป็นของผสมระหว่างน้ำมันดิน (Tar) กับน้ำที่ความแน่น

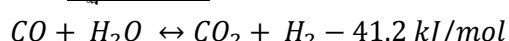
จากรูปที่ 4 เป็นผลการคำนวณสมดุลมวลระหว่างผลิตภัณฑ์และสารตั้งต้นจากปฏิกิริยาแก๊สซิฟิเคชัน ซึ่งแก๊สผลิตภัณฑ์ส่วนใหญ่เป็นแก๊สที่มีประกอบไปด้วย แก๊สมีเทน แก๊สไฮโดรเจน แก๊สคาร์บอนมอนอกไซด์ แก๊สคาร์บอนไดออกไซด์ และ แก๊สไนโตรเจน เป็นต้น ที่มีอัตราส่วนมากถึง 40% และมีแนวโน้มเพิ่มขึ้นตามอุณหภูมิของการเกิดปฏิกิริยา ที่  $800^{\circ}\text{C}$  มีอัตราส่วนแก๊สเป็นผลิตภัณฑ์ 52.43% เนื่องจากที่ อุณหภูมิสูงแก๊สไฮโดรคาร์บอนสามารถแตกตัวเป็นแก๊สไฮโดรคาร์บอนไม่เลกูลาร์ได้มากขึ้น ทำให้แก๊สไฮโดรคาร์บอนที่มีไม่เลกูลาร์ใหญ่มีปริมาณลดลง เมื่อความแน่นจะได้ผลิตภัณฑ์ที่เป็นของเหลวที่มีปริมาณลดลง สำหรับถ้าที่เกิดขึ้นมีค่าค่อนข้างคงที่

จากการทดลองและผลจากตรวจสอบเชื้อเพลิง Proximate analysis พบร่วมปฏิกิริยาแก๊สซิฟิเคชันที่เกิดขึ้นกับหินน้ำมันส่วนใหญ่เกิดขึ้นกับสารตั้งต้นที่เป็นแก๊สจากสารระเหยที่เป็นองค์ประกอบของหินน้ำมันมากถึง 27.76% โดยน้ำหนัก เมื่อสารระเหยทำปฏิกิริยากับอากาศ และ 'ไอ้น้ำที่อยู่ในรูปของความชื้น' ในตัวหินน้ำมัน ปฏิกิริยาที่เกิดขึ้นในการทดลองครั้งนี้ มีดังนี้

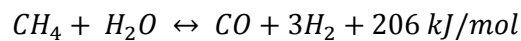
#### ปฏิกิริยา Oxidation



#### ปฏิกิริยา shift



#### ปฏิกิริยา steam reforming



สำหรับปฏิกิริยา กับการบานจะเกิดน้อยมากเนื่องจาก การบานคงตัวที่อยู่ในหินน้ำมันมีค่าน้อยเพียง 1.05% โดยน้ำหนัก

#### 5.2 ผลของอัตราส่วนไอน้ำต่อเชื้อเพลิง

เนื่องจากแก๊สผลิตภัณฑ์ส่วนใหญ่เป็นแก๊สมีเทนที่ หมายเป็นสารตั้งต้นในการผลิตไฮโดรเจน ซึ่งงานวิจัยนี้ได้ทำการศึกษาผลของไอน้ำที่มีต่อการผลิตแก๊สไฮโดรเจนจากการทดลองของอุณหภูมิพบว่า ที่  $800^{\circ}\text{C}$  สามารถผลิตแก๊สมีเทนจากหินน้ำมันได้มากที่สุด จึงนำมาศึกษาผลของไอน้ำที่มีต่อการผลิตแก๊สไฮโดรเจน ได้ทำการทดลองดังรูปที่ 5 โดยทำการเพิ่มอัตราส่วนไอน้ำต่อเชื้อเพลิง 0.2 0.4 และ 0.6 g/g ตามลำดับ

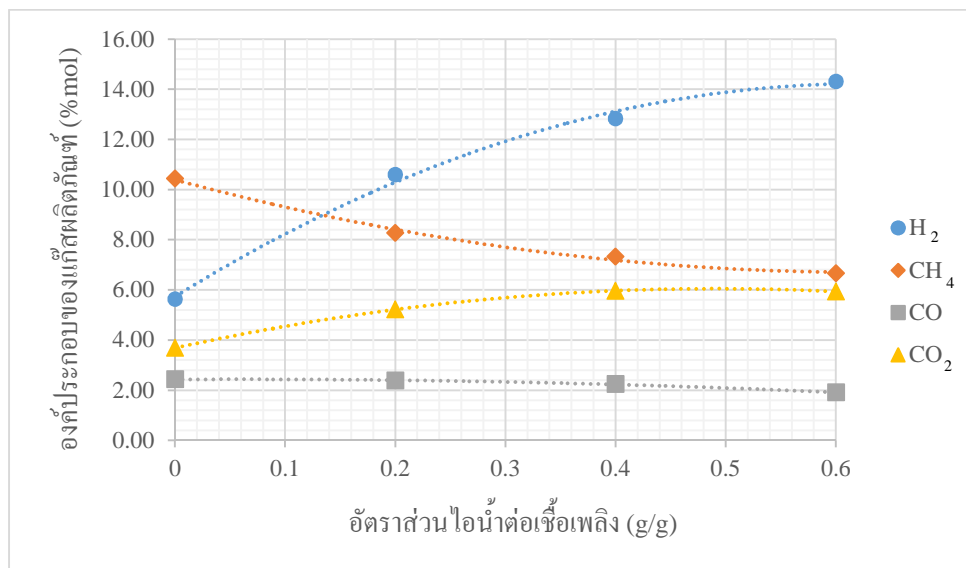
จากการทดลอง พบว่าอัตราส่วนไอน้ำต่อเชื้อเพลิงที่เพิ่มขึ้นต่ออัตราการป้อนเชื้อเพลิงที่คงที่ส่งผลให้แก๊สผลิตภัณฑ์มีองค์ประกอบของแก๊สไฮโดรเจนเพิ่มขึ้น โดยมีค่าสูงสุดที่อัตราส่วนไอน้ำต่อเชื้อเพลิงเท่ากับ 0.6 สามารถผลิตแก๊สไฮโดรเจนได้ 14.30% mol ในทางกลับกันแก๊สมีเทนซึ่งเดิมเป็นแก๊สหลักในปฏิกิริยาแก๊สซิฟิเคชันมีแนวโน้มลดลง เหลือ 6.66% mol จากการทดลองพบว่าขั้นมีแก๊สมีเทนเหลือจากปฏิกิริยา การที่จะทำให้แก๊สมีเทนเกิดปฏิกิริยาทั้งหมดอาจจะต้องปรับปรุงเตาปฏิกิริยา หรือเพิ่มระยะเวลาในการทดลอง หรือศึกษาเพิ่มเติมเกี่ยวกับตัวเร่งปฏิกิริยาเคมี เป็นต้น

เนื่องจากแก๊สผลิตภัณฑ์ที่ต้องการคือแก๊สไฮโดรเจน จากรูปที่ 6 พบว่าเมื่อเพิ่มอุณหภูมิในปฏิกิริยาจะส่งผลให้สามารถผลิตแก๊สไฮโดรเจนได้มากขึ้น ซึ่งแก๊สไฮโดรเจนเกิดจากปฏิกิริยา Steam reforming โดยมีสารตั้งต้นเป็นแก๊สมีเทน และ 'ไอน้ำ' จากปฏิกิริยาดังกล่าว พบว่าเกิดขึ้นในช่วงอุณหภูมิ  $700\text{--}1,100^{\circ}\text{C}$  [15] ซึ่งที่อุณหภูมิ  $700^{\circ}\text{C}$  จะสังเกตเห็นการเปลี่ยนแปลงเพียงเล็กน้อย เนื่องจากพลังงานที่ใช้ในปฏิกิริยาซึ่งคงมีค่าน้อยอยู่ ซึ่งจะสังเกตเห็นได้ชัดเจนขึ้นเมื่อเพิ่มอุณหภูมิไปที่  $800^{\circ}\text{C}$  การเกิดปฏิกิริยา Steam reforming สามารถอธิบายได้การคำนวณและ

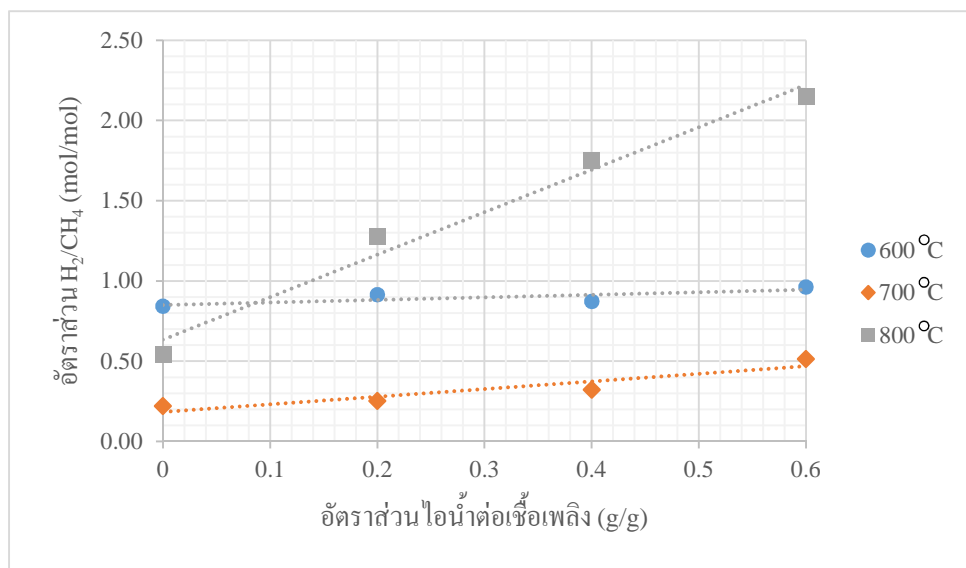
เปรียบเทียบกับแนวโน้มจากการทดลอง โดยพิจารณาจากผลลัพธ์ของกิบส์ (Gibbs free energy) และค่าคงที่สมดุลของปฏิกิริยา (Equilibrium constant) ดังรูปที่ 7

จากการคำนวณ พบว่าที่  $600^{\circ}\text{C}$  ไม่สามารถเกิดปฏิกิริยา Steam reforming ได้ เนื่องจากค่าผลลัพธ์ของกิบส์มีค่า  $4.86 \text{ kJ}$  นั่นหมายถึงผลลัพธ์ของกิบส์ของผลิตภัณฑ์มีค่ามากกว่าสารตั้งต้น หรือในทางกลับกันสารตั้งต้นไม่สามารถทำให้เกิดปฏิกิริยานี้ได้ เนื่องจาก

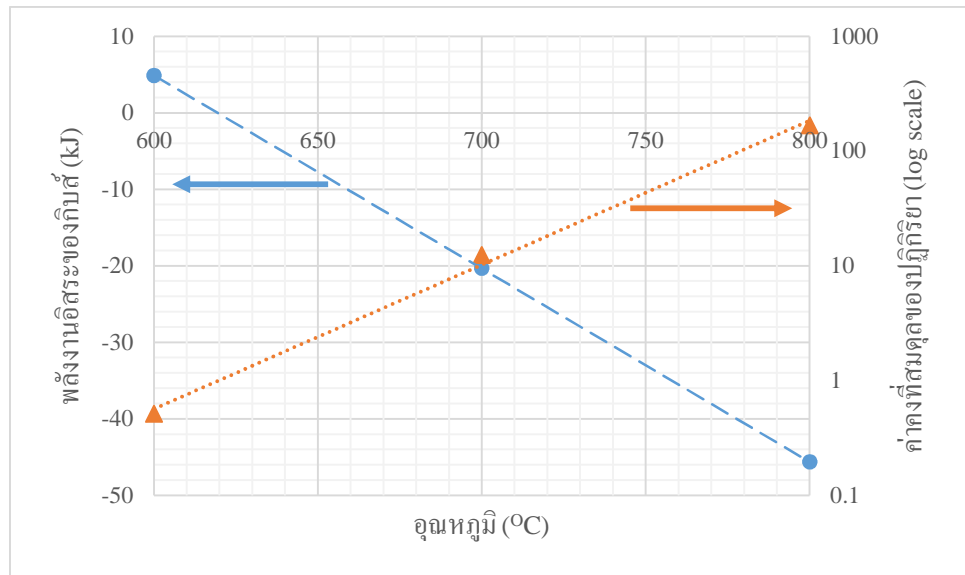
ผลลัพธ์ที่อุณหภูมนี้ฯ ไม่เพียงพอต่อการทำปฏิกิริยา ซึ่งจากทฤษฎีของการเกิดปฏิกิริยานั้น ปฏิกิริยาเคมีจะสามารถเกิดขึ้นเองได้ตามสภาพน้ำหนัก ต้องมีค่าติดลบ เพราะผลลัพธ์ของผลิตภัณฑ์ต้องมีค่าน้อยกว่าสารตั้งต้นปฏิกิริยานี้จึงจะเกิดขึ้นเอง ให้ซึ่งจากการคำนวณแสดงให้เห็นว่าที่  $700$  และ  $800^{\circ}\text{C}$  ผลลัพธ์ของกิบส์มีค่าเท่ากับ  $-20.33 \text{ kJ}$  และ  $-45.65 \text{ kJ}$  ตามลำดับ จากค่าดังกล่าวทำให้ปฏิกิริยา Steam reforming สามารถเกิดขึ้นได้เมื่ออุณหภูมิ  $700$  และ  $800^{\circ}\text{C}$



รูปที่ 5 ผลของอัตราส่วนไอน้ำต่อเชื้อเพลิงที่มีต่องค์ประกอบของแก๊สผลิตภัณฑ์ ที่  $800^{\circ}\text{C}$



รูปที่ 6 ผลของอัตราส่วนไอน้ำต่อเชื้อเพลิงที่มีต่ออัตราส่วน H<sub>2</sub>/CH<sub>4</sub> ที่ 600, 700 และ 800°C



รูปที่ 7 ผลการคำนวณพลังงานอิสระของกิบส์ และค่าคงที่สมดุลของปฏิกิริยา

ของปฏิกิริยา steam reforming ที่ 600 700 และ 800°C

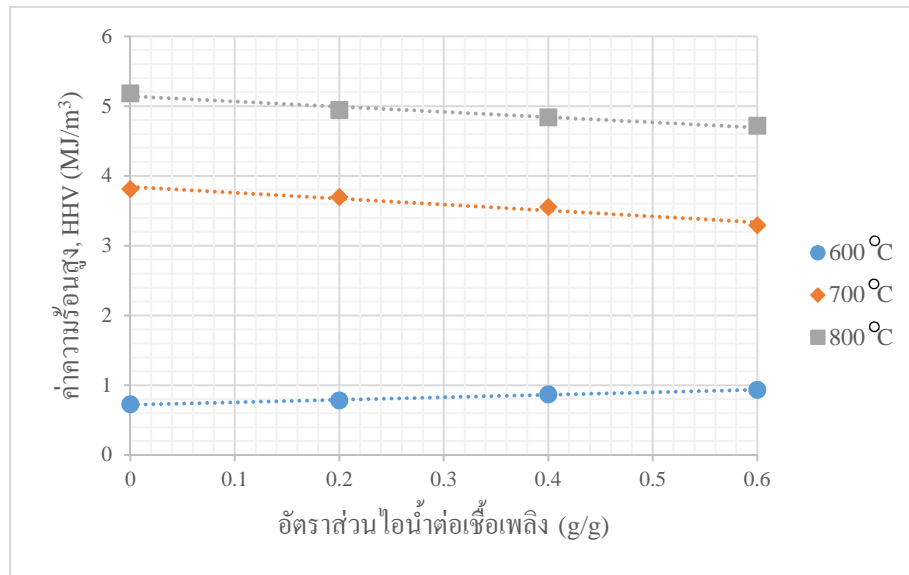
จากรูปที่ 6 พบว่าที่ 700°C เกิดปฏิกิริยา Steam reforming เล็กน้อยจากอัตราส่วน  $H_2/CH_4$  มีค่าเพิ่มขึ้น จาก 0.22 เป็น 0.51 เมื่อคำนวณค่าคงที่สมดุลของปฏิกิริยา มีค่าเท่ากับ 12.35 ซึ่งเมื่อเทียบกับการทำปฏิกิริยาที่ 800°C สามารถคำนวณค่าคงที่สมดุลของปฏิกิริยา มีค่าเท่ากับ 166.96 ซึ่งมีค่าต่างกันมาก พบว่าอุณหภูมิเป็นตัวแปรที่สำคัญต่อการเกิดปฏิกิริยา โดยอัตราการเกิดปฏิกิริยาที่ อุณหภูมิสูงมีมากกว่า จึงทำให้ปฏิกิริยา Steam reforming ที่ 800°C เกิดได้ดีกว่าที่ 700°C

### 5.3 ค่าความร้อนและประสิทธิภาพแก๊สชีฟิเคชัน

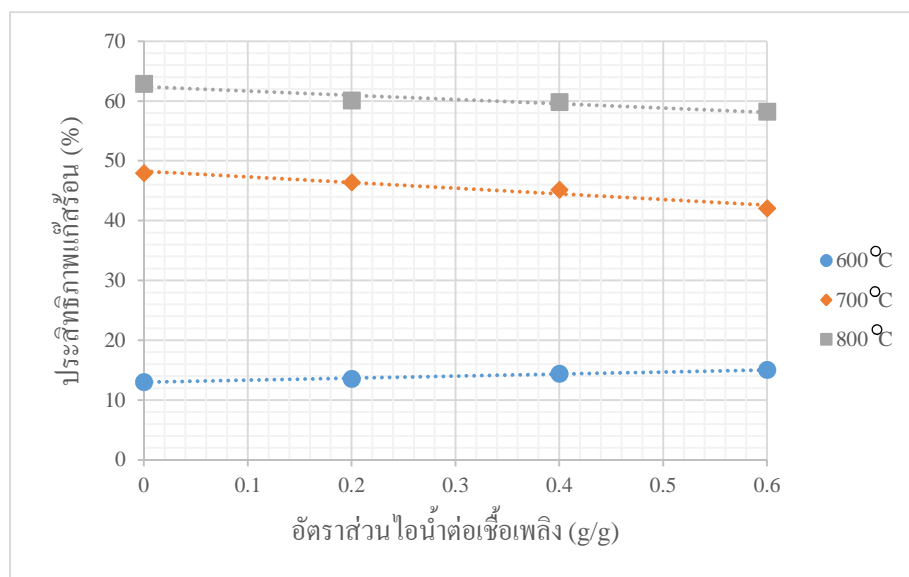
แก๊สผลิตภัณฑ์ที่ได้จากการทำปฏิกิริยาแก๊สชีฟิเคชันคือ แก๊สเชื้อเพลิงที่มีแก๊ส 3 ชนิดเป็นองค์ประกอบหลักได้แก่ แก๊สมีเทน ( $CH_4$ ) แก๊สไฮโดรเจน ( $H_2$ ) และ แก๊สคาร์บอนมอนอกไซด์ ( $CO$ ) โดยที่แก๊สผลิตภัณฑ์นี้จะเรียกว่า แก๊สเชื้อเพลิง ซึ่งสามารถนำไปใช้ในกระบวนการเผาไหม้เพื่อให้พลังงานความร้อน หรือเป็นเชื้อเพลิงในการสันดาปของเครื่องยนต์ จากผลการทดลองสามารถคำนวณค่าความร้อนสูง (HHV) และประสิทธิภาพแก๊สร้อน (Hot gas efficiency) ได้ดังรูปที่ 8 และ 9

แก๊สผลิตภัณฑ์ที่ได้จากการทำปฏิกิริยาที่อุณหภูมิสูงสามารถผลิตแก๊สเชื้อเพลิงที่มีค่าความร้อนได้สูงกว่าการทำปฏิกิริยาที่อุณหภูมิต่ำ แต่การเพิ่มอัตราส่วนไอน้ำต่อเชื้อเพลิงมีผลทำให้ค่าความร้อนของแก๊สเชื้อเพลิงลดลง เช่นกัน เมื่อจากการเพิ่มอัตราส่วนไอน้ำต่อเชื้อเพลิงทำให้เกิดปฏิกิริยา Steam reforming เพิ่มมากขึ้น ทำให้แก๊สที่มีค่าความร้อนสูงที่สุดคือแก๊สมีเทน มีองค์ประกอบในแก๊สผลิตภัณฑ์ลดลง ส่วนประสิทธิภาพแก๊สร้อนที่เป็นอัตราส่วนระหว่างค่าความร้อนและพลังงานของแก๊สร้อนที่ได้จากการทำปฏิกิริยา กับค่าความร้อนของหินน้ำมัน ซึ่งผลจาก Proximate analysis ได้ค่าความร้อนอยู่ที่ 7 MJ/kg เมื่อนำมาคำนวณประสิทธิภาพแล้วได้ค่าที่มีแนวโน้มลดลงเนื่องจากค่าความร้อนของแก๊สผลิตภัณฑ์ลดลงนั่นเอง

จากการคำนวณค่าความร้อนและประสิทธิภาพสามารถบอกได้ว่าการนำแก๊สเชื้อเพลิงไปใช้ประโยชน์ สำหรับการนำแก๊สผลิตภัณฑ์ที่ได้ไปใช้เป็นเชื้อเพลิงในการเผาไหม้ควรเลือกแก๊สที่ให้ค่าความร้อนสูงที่สุด คือ แก๊สผลิตภัณฑ์ที่ 800°C โดยไม่ใช้ไอน้ำ สามารถผลิตแก๊สเชื้อเพลิงที่มีค่าความร้อนสูง 5.18 MJ/m<sup>3</sup> ประสิทธิภาพแก๊สร้อน 62.91%



ຮູບທີ 8 ຄ່າຄວາມຮຸ້ອນສູງຂອງແກ້ສພລິຕົກັນທີ່ຈາກປົກລົງຢາແກ້ສົຈີຟຒເຄັ່ນທີ່ 600 700 ແລະ 800 °C  
ທີ່ອັດຕາສ່ວນໄອນ້າຕ່ອເຂື້ອເພີ້ງ 0 0.2 0.4 ແລະ 0.6



ຮູບທີ 9 ປະສົບທີ່ກາພແກ້ສ່ວນຂອງແກ້ສພລິຕົກັນທີ່ຈາກປົກລົງຢາແກ້ສົຈີຟຒເຄັ່ນທີ່ 600 700 ແລະ 800 °C  
ທີ່ອັດຕາສ່ວນໄອນ້າຕ່ອເຂື້ອເພີ້ງ 0 0.2 0.4 ແລະ 0.6

## 6. ສຽງຜົດການທົດລອງ

ກະບວນແກ້ສົຈີຟຒເຄັ່ນດ້ວຍໄອນ້າໂດຍໃຊ້ທຶນນໍາມັນເປັນເຂື້ອເພີ້ງ ພບວ່າແກ້ສເຫຼືອເພີ້ງຫລັກຈາກກະບວນການຄື່ອ ແກ້ສົມື່ເຫນ ກາວວັບຄຣັງນີ້ໄດ້ສົກນາການພລິຕົກັນແກ້ສ່ໄໂໂໂໂໂຣເຈນຈາກປົກລົງຢາ Steam reforming ພບວ່າປົກລົງຢາທີ່ອຸນຫຼວມສູງແລະອັດຕາສ່ວນໄອນ້າຕ່ອເຂື້ອເພີ້ງສູງສາມາດ

ພລິຕົກັນແກ້ສ່ໄໂໂໂໂຣເຈນທີ່ເປັນອົງກົດກົດຂອງແກ້ສພລິຕົກັນທີ່ເພີ່ມມາກັ່ນ ແລະສັດສ່ວນຂອງແກ້ສົມື່ເຫນມີຄ່າລດລັງຈາກການທົດລອງພບວ່າສກາວະທີ່ເໝາະສົມກັບການພລິຕົກັນແກ້ສ່ໄໂໂໂໂຣເຈນອູ້ທີ່ອຸນຫຼວມ 800 °C ອັດຕາສ່ວນໄອນ້າຕ່ອເຂື້ອເພີ້ງເທົ່າກັນ 0.6 ສາມາດພລິຕົກັນແກ້ສ່ໄໂໂໂໂຣເຈນທີ່ເປັນອົງກົດກົດສັດສ່ວນຂອງແກ້ສພລິຕົກັນທີ່ໄດ້ນາກທີ່ສຸດ 14.30 mol ໂດຍສາມາດຄຸດສັດສ່ວນຂອງແກ້ສົມື່ເຫນລັງໄດ້

จาก 10.43% mol เหลือ 6.66% mol หรือประมาณ 40% จากปฏิกริยา Steam reforming ส่งผลต่อการนำหินน้ำมันไปใช้ประโยชน์เนื่องจากเมื่อผลิตแก๊สไฮโดรเจนให้ได้สัดส่วนที่สูงขึ้นส่งผลให้ค่าความร้อนรวมของแก๊สผลิตกัณฑ์มีค่าลดลง ทำให้มีอัตราการนำหินน้ำมันไปใช้ประโยชน์ได้ดีกว่าเดิม แต่เมื่อหินน้ำมันมีค่าความร้อนต่ำกว่าหินน้ำมันที่อยู่ในอุตสาหกรรมปิโตรเคมี เช่น หินน้ำมันเบนซิน เมทานอล เป็นต้น

แก๊สผลิตกัณฑ์ เพราะแก๊สไฮโดรเจนสามารถนำไปใช้ประโยชน์ได้หลากหลายมากกว่าการเผาไหม้ เช่นนำไปผลิตพลังงานไฟฟ้าในเซลล์เชื้อเพลิง (Fuel cell) หรือนำไปเป็นสารตั้งต้นในอุตสาหกรรมปิโตรเคมี เช่น หินน้ำมันเบนซิน เมทานอล เป็นต้น

## 7. กิตติกรรมประกาศ

ผู้วิจัยขอขอบพระคุณศูนย์วิจัยเทคโนโลยีพลังงาน เพื่อถึงเวลาดีอีกครั้ง คณะวิศวกรรมศาสตร์ มหาวิทยาลัย เชียงใหม่ สำหรับเงินทุนสนับสนุนงานวิจัย

## เอกสารอ้างอิง

- [1] กรมพัฒนาพลังงานทดแทนและอนุรักษ์พลังงาน (2556). สถิติพลังงานของประเทศไทย 2555. [ระบบออนไลน์] แหล่งที่มา <http://www.dede.go.th>
- [2] กรมอุตสาหกรรมพื้นฐานและการเหมืองแร่ (2555). โครงการพัฒนาเรือหินน้ำมันแหล่งหินน้ำมัน อำเภอแม่สอด จังหวัดตาก.
- [3] Suwannathong A., Khummongkul D. Oil shale resource in Mae Sot basin Thailand. 27<sup>th</sup> Oil shale symposium, Colorado School of Mine, 2007.
- [4] นคร พิพากษา (2553). เทคโนโลยีการแปลงสภาพชีวมวล. พิมพ์ครั้งที่ 1. กรุงเทพฯ : สมาคมส่งเสริมเทคโนโลยี (ไทย-ญี่ปุ่น).
- [5] Basu, P. Biomass Gasification and Pyrolysis. USA : Elsevier, 2010.
- [6] สำเริง จักรใจ (2547). การเผาไหม้. พิมพ์ครั้งที่ 1. กรุงเทพฯ : จุฬาลงกรณ์มหาวิทยาลัย
- [7] Reed, T. and Desrosiers, R. The Equivalence Ratio: The Key To Understanding Pyrolysis, Combustion and Gasification of Fuels, 1979. [Online] Available: <http://greening-aiken.wikispaces.com>.
- [8] Yoon, H.C., Cooper, T. and Steinfeld, A. Non-catalytic autothermal gasification of woody biomass. *International Journal of Hydrogen Energy*, 2011; 36: 7852 – 7860.
- [9] กัญจนานา บุณยเกียรติ (2547). การคำนวณขั้นตอนในวิชาเคมี. พิมพ์ครั้งที่ 6. กรุงเทพฯ : จุฬาลงกรณ์มหาวิทยาลัย
- [10] Kempegowda, R., Assabumrungrat, S. and Laosiripojana, N. Thermodynamic analysis for gasification of Thailand rice husk with air, steam and mixed air/steam for Hydrogen-Rich gas production. *International Journal of Chemical Reactor Engineering*, 2010; 8: A158.
- [11] Flechsenhar, M. and Sasse, C. Solar gasification of biomass using oil shale and coal as candidate materials. *Energy*, 1995; 20: 803 – 810.
- [12] Wei, L.G., Xu, S.P., Zhang, L., Liu, C.H., Zhu, H. and Liu, S.Q. Steam gasification of biomass for hydrogen-rich gas in a free fall reactor. *International Journal of Hydrogen Energy*, 2007; 32: 24 – 31.
- [13] ติมณฑพ แพงพม (2552). การผลิตไฮโดรเจนจากชีวมวลในเตาปฏิกรณ์แบบเบนซิน. วิทยานิพนธ์วิศวกรรมศาสตร์ มหาวิทยาลัยเชียงใหม่

- [14] Wang, S., Jiang, X., Han, X. and Tong, J. Effect of retorting temperature on product yield and characteristics of non-condensable gases and shale oil obtained by retorting Huadian oil shales. *Fuel Processing Technology*, 2014, 121: 9-15.
- [15] Baitao, L., Kado, S., Mukainakano, Y., Miyazawa, T., Miyao, T., Naito, S., Okumura, K., Kunimori, K. and Tomishig, K. Surface modification of Ni catalysts with trace Pt for oxidative steam reforming of methane. *Journal of Catalysis*, 2007; 245: 144-155.
- [16] Jaber, J.O. Gasification potential of Ellujjun oil shale. *Energy Conversion & Management*, 2000; 41: 1615 – 1624.
- [17] Jaber, J.O. and Probert, S.D. Pyrolysis and gasification kinetics of Jordanian oil-shale. *Applied Energy*, 1999; 63: 269 – 289.
- [18] Khraisha, Y.H. Batch combustion of oil shale particles in fluidized bed reactor. *Fuel Processing Technology*, 2005; 86: 691 – 706.